## Доклады Академии наук СССР 1973. Том 208, № 4

УДК 541.15: 543.27: 546.62-31

## ФИЗИЧЕСКАЯ ХИМИЯ

### Н. Г. ШИРИКОВ, В. Ф. АНУФРИЕНКО, Л. А. САЗОНОВ

# ИССЛЕДОВАНИЕ ПАРАМАГНИТНЫХ ЦЕНТРОВ В у-ОБЛУЧЕННОЙ ОКИСИ АЛЮМИНИЯ

(Представлено академиком Г. К. Боресковым 26 VI 1972)

Рядом авторов (1-6) наблюдалось появление сигнала э.п.р. в результате облучения окиси алюминия и изменение ее каталитических и адсорбционных свойств (7). Однако вопрос о природе парамагнитных центров (п.м.ц.) и их реакционной способности остался открытым.

В данной работе изучена природа п.м.ц. в облученной γ-окиси алюминия и их реакционная способность по отношению к O<sub>2</sub>, H<sub>2</sub> и CO<sub>2</sub>. Использовалась γ-Al<sub>2</sub>O<sub>3</sub>, полученная прокаливанием при 700° С гидроокиси, осажденной аммиаком из раствора азотнокислого алюминия марки ч.д.а. Содержание примеси железа не превышало 0,01 вес. %. Поверхность полученной γ-Al<sub>2</sub>O<sub>3</sub> 100 м<sup>2</sup>/г. Перед облучением образцы прогревались при 600° в токе

Сигналы э.п.р. в ү-облучениой Al<sub>2</sub>O<sub>3</sub>

Таблица 1

	Характеристики сигнала	Рису- нок	Результат взаимодействия с газами			Идентифика-
	э.п.р.		H <sub>2</sub>	CO <sub>2</sub>	O <sub>2</sub>	дия п.м.ц.
A	Слегка асимметричная линия шириной $43-50$ гс. $g=2,0155$		Исчезает на 80—90%	Превра- щается в сигнал СО3 (рис. 1в)	Обратимо уширяется	0
В	11 линий с.т.с. от двух ядер Al на фоне сигнала A $a = 10$ гс, $g = 2,0036$	1 <i>a</i>	То же	То же	То же	Al Al
C	$ \begin{vmatrix} 6 & \text{линий} & \text{с.т.c.}, & a_{\parallel} = \\ & = 485 & \text{rc}, & a_{\perp} = 460 & \text{rc}, \\ g_{\parallel} = 1,985, & g_{\perp} = 2,020, \\ G_{\text{s}}^2 = 0,465, & G_{p}^2 = \\ & = 0,396 \end{vmatrix} $	16	Не изменя- ется	Превра- щается в сигнал ${\rm CO_2^-}$ (рис. 3)	Превраща- ется в сиг- нал О <sub>2</sub> - (рис. 2 <i>ж</i> )	Al <sup>2+</sup>
D	Синглет шириной 10 гс с $g=2,0045$ . Наблюдается только в присутствии адс. $O_2$	26	Частично исчезает *		В избытке О <sub>2</sub> обратимо уширяется	Поверхно- стный <i>F</i> -центр

<sup>\*</sup> При действии смеси Н2 + О2 превращается в сигнал О2-.

 $O_2$  и затем вакуумировались при температурах  $25-920^\circ$ . Облучение производилось  $\gamma$ -лучами Co-60 при  $40^\circ$ . Спектры снимались при  $-196^\circ$  на спектрометре JES-3BX на длине волны 3.2 см.

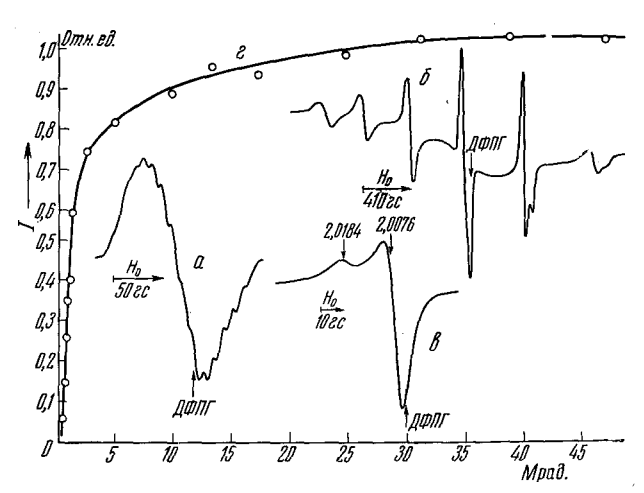
В необлученных образцах наблюдался только сигнал примесного  $Fe^{3+}$  с g=4,27. Облучение вызывает появление сигналов, характеристики которых приведены в табл. 1. Образующиеся центры не отжигаются при комнатной температуре, а соотношение между ними зависит от условий предварительной обработки и облучения катализатора. Сигнал А наблюдается в образцах, оттренированных при любой температуре, и его параметры хорошо совпадают с сигналом, описанным в  $\binom{1-4}{6}$ . В образцах, оттрениро-

ванных при  $400-700^\circ$  на фоне сигнала A наблюдался сигнал B, однако в оттренированных при  $920^\circ$  он уже не обнаруживался. Зависимость общей концентрации п.м.ц. A и B от температуры тренировки при дозе облучения  $20~\rm Mrn$  приведена ниже.

Т-ра тренировки, °C 25 120 250 400 550 700 920 Концентрация п.м.ц. 
$$(1\pm0.5\cdot10^{18},\ r^{-1})$$
 0,2 0,6 0,7 1,0 0,9 0,7 0,4

На рис. 1г приведена зависимость интенсивности сигналов A+B от дозы облучения для образца, тренированного при  $500^\circ$ . Обработка  $H_2$  при  $20^\circ$  снижает интенсивность сигналов A+B на  $80-90\,\%$  без появления ка-

Рис. 1. Спектры э.п.р. облученной окиси алюминия, вакуумированной при  $500^{\circ}$  С (a), вакуумированной при  $700^{\circ}$  С, облученной в  $H_2$   $(\delta)$ ,  $\epsilon$ —спектр ион-радикала  $CO_3$ —,  $\epsilon$ —зависимость иптенсивности сигнала от дозы облучения



ких-либо новых сигналов (рис. 2e). Одновременно исчезает и слабая серая окраска, характерная для облученной  $Al_2O_3$ . В атмосфере  $O_2$  сигнал A+Bобратимо уширяется и интенсивность остатка, принадлежащего объемным дефектам, соответствует ~ 10% от исходной. При обработке СО2, вместо сигналов А + В возникает сигнал, приведенный на рис. 16, характеризующийся значениями  $g_{\parallel}=2,0184$  и  $g_{\perp}=2,0076$ . Согласно данным (8), такой сигнал принадлежит ион-радикалу  $\mathrm{CO}_3$ -. Таким образом, центры A и B по значениям g-факторов и характеру взаимодействия с H<sub>2</sub> и CO<sub>2</sub> могут быть отнесены к дыркам, локализованным на поверхностных кислородах, что соответствует О-. Наличие 11 линий с.т.с. позволяет заключить, что пентр В представляет собой О-, связанный слабой ковалентной связью с двумя атомами алюминия. Наличие такого центра позволяет считать, что в необлученной  $Al_2O_3$  имеются дефекты, являющиеся так называемыми напряженными аллоксановыми мостиками (9) или с-местами (10). Бесструктурная форма сигнала А, видимо, обусловлена пеоднородностью центров, приводящей к смазыванию анизотронии, характерной для О-. Подтверждением неоднородности центров служит то, что с повышением температуры от -78 до 180° все большая часть О- при взаимодействии с CO<sub>2</sub> превращается в СО<sub>3</sub>-. Облучение в СО<sub>2</sub> также приводит к образованию СО<sub>3</sub>- (концентрация  $10^{13}$  см $^{-2}$ ), сопровождающемуся появлением интенсивной фиолетовой окраски.

Сигнал С становится заметным в образцах, прогретых при  $500^{\circ}$ , и его интенсивность растет с повышением температуры тренировки. Если тренировка включала дополнительную обработку  $H_2$ , сигнал С появлялся уже после тренировки при  $400^{\circ}$ . При облучении в  $H_2$  образцов, тренированных при  $700^{\circ}$ , наблюдается только сигнал С (рис. 16). Если  $Al_2O_3$  тренировалась в вакууме без восстановления, а  $H_2$  папускался в ампулы при  $20^{\circ}$ , интенсивность сигнала С была примерно в 3 раза выше, чем в вакуумированных образцах. Параметры сигнала С позволяют однозначно приписать его  $Al^{2+}$ . Из значений  $a_s$  и  $a_p$  констант с.т.с. следует, что неспаренный электрон па-

ходится на sp-гибридной орбите, что соответствует сильному понижению симметрии связи иона  $Al^{2+}$  по сравнению с объемной  $Al_2O_3$ . В работах ( $^{11}$ ,  $^{12}$ ) обсуждалась возможность термического образования  $Al^{2+}$  на поверхности  $Al_2O_3$ . Наши данные показывают, что термическая обработка приводит к образованию на поверхности ионов  $Al^{3+}$  с низкой координацией и только в результате облучения  $Al^{3+}$  переходит в  $Al^{2+}$ . Максимальная концентрация  $Al^{2+}$  составляла  $10^{12}$  см $^{-2}$ . Обработка водородом не приводит

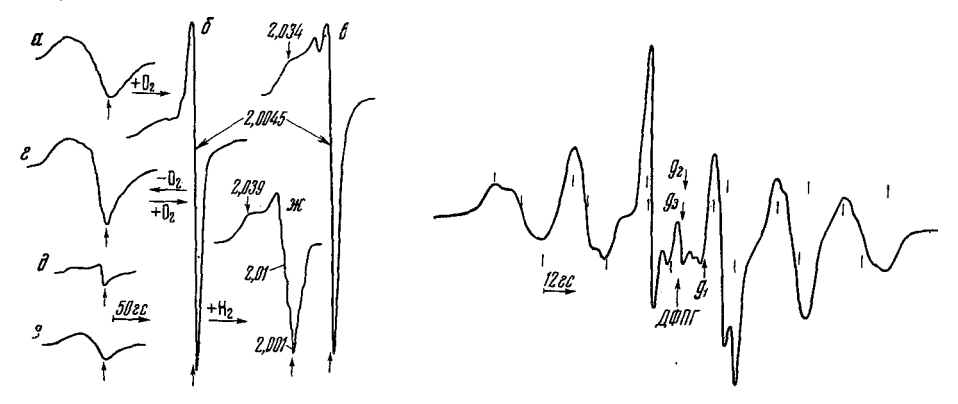


Рис. 2. Изменения спектров э.п.р. при взаимодействии п.м.ц. с  $O_2$  и  $H_2$ 

Рис. 3. Спектр  $\mathrm{CO_2}^-$ , образующийся при взаимодействии  $\mathrm{CO_2}$  с  $\mathrm{AI^2}$ +

к изменению сигнала Al<sup>2+</sup>. При взаимодействии с Co<sub>2</sub> сигнал Al<sup>2+</sup> превращается в сигнал, приведенный на рис. 3, с параметрами  $g_1 = 1.997$ .  $a_1 =$ = 24 гс;  $g_2 = 2{,}0024$ ,  $a_2 = 30$  гс;  $g_3 = 2{,}003$ ,  $a_3 = 24{,}5$  гс. Сопоставление характеристик сигнала с данными (8) для CO<sub>2</sub>- позволяет заключить, что сигнал принадлежит СО2-, стабилизированному в координационной сфере  $Al^{3+}$ . Обработка кислородом при  $-196^{\circ}$  превращает сигнал  $Al^{2+}$  в сигнал  $O_2^-$  (рис.  $2 \varkappa$ ) с нараметрами  $g_x = 2{,}001, \ g_y = 2{,}01, \ z_z = 2{,}39, \ a_x = 4$  гс,  $a_y = 4{,}5$  гс,  $a_z$  — неразрешима. Этот же сигнал образуется и при напуске  $O_2$ на образец с CO<sub>2</sub>-, т. е. происходит передача е от CO<sub>2</sub>- к O<sub>2</sub> с образованием ион-радикала O<sub>2</sub>-. На образцах, тренированных при 400°, адсорбция кислорода при 20° приводит к увеличению интегральной интенсивности сигналов за счет образования  $O_2$  только на 5-10% (рис.  $2\varepsilon$ ). Дополнительная адсорбция  $O_2$  при  $-196^\circ$  в количестве  $\sim 10^{12}$  молек/см<sup>2</sup> приводит к появлению сигнала D с интегральной интенсивностью примерно равной интенсивности исходного сигнала (рис. 26). Добавление избытка О $_2$  приводит к исчезновению сигнала D, а откачивание при 20° восстанавливает сигнал, приведенный на рис. 2г. При повторных циклах напуска и откачивания  $O_2$  картина повторяется. Напуск водорода в ампулу с  $O_2$  при  $-196^\circ$  не изменяет сигнала D, а при  $20^{\circ}$  он необратимо переходит в  $O_2^{-1}$  (рис.  $2\pi$ ), сигнал О- при этом исчезает. При напуске газов в обратном порядке интенсивность образующегося  $O_2$  в 3-4 раза меньше. Подобно водороду действуют  ${
m C_2H_4}$  и  ${
m CO.~B}$  случае обработки  ${
m CO}$  интенсивность образующегося  ${
m O_2}$ – равна удвоенной интенсивности сигнала D. Это можно понять, если допустить, что наряду с превращением сигнала D в О<sub>2</sub>- происходят реакции:

$$CO + O^{-} \rightarrow CO_{2}^{-}, \tag{1}$$

$$CO_2^- + O_2 \rightarrow O_2^- + CO_2.$$
 (2)

В окиси алюминия, облученной в  $O_2$  при  $-196^\circ$ , наблюдается суперпозиция сигналов  $O_2^-$  и D (рис. 2s). В образцах, тренированных при  $400^\circ$  и облученных в  $H_2$ , небольшой сигнал D наблюдается и без адсорбции кислорода (рис. 2d). При отжиге таких образцов наблюдалось небольшое возрастание интенсивности сигнала D и монотонное уменьшение A (рис. 4). Приведенные данные позволяют заключить, что сигнал D обусловлен по-

верхностными F-центрами, не наблюдаемыми в вакуумированных образцах вследствие больших времен релаксации. Облучение в  $H_2$  и последующий отжиг приводят к изменению состояния поверхности так, что некоторые из F-центров становятся видимыми. Адсорбция  $O_2$  вблизи F-центра в соотношении 1:1 приводит к сокращению времен релаксации за счет взаимодействия с парамагнитными молекулами  $O_2$  на поверхности, а при дополнительной адсорбции  $O_2$  происходит обычное уширение сигнала. Водород, повидимому, взаимодействует с ионами кислорода, входящими в структуру

F-пентров, и это приводит к возбуждению электрона, в результате чего он может быть захвачен молекулой адсорбированного кислорода с образованием O<sub>2</sub>- или рекомбинировать с дыркой (при отсутствии  $O_2$ ). На облученном силикагеле инициирование рекомбинации захваченных электронов и дырок адсорбцией подтверждено водорода изучением радиосорболюминеспенции (13).

Таким образом, при облучении окиси алюминия происходит стабилизация в

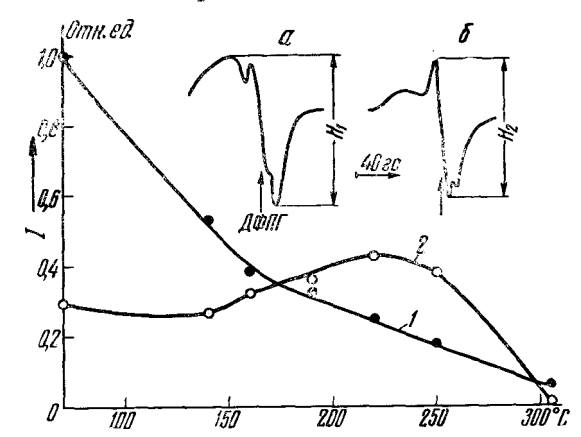


Рис. 4. Изменение интенсивности сигналов А (1) и D (2) при отжиге. a — сигнал до отжига,  $\delta$  — после отжига при 200° С

равных количествах дырок и электронов, преимущественно на поверхностных дефектах, создаваемых предварительной обработкой. Электроны захватываются алюмокислородными комплексами, различающимися степенью координационной ненасыщенности алюминия. В крайнем случае электрон почти на 100% локализован на алюминии, что соответствует образованию Al<sup>2+</sup>, при меньшей координационной ненасыщенности захваченный электрон размазан по всему алюмокислородному комплексу, что аналогично образованию F-центра. Дырки захватываются ионами О2-, часть из которых представляет напряженные аллоксановые мостики (°). В случае восстановленных образцов в захвате дырок участвуют и примесные ионы  $Fe^{3+}$ . Вид дозной зависимости позволяет предположить, что неко**то**рая часть центров захвата образуется и в процессе облучения. Образование их, видимо, связано с радиолизом гидроксильных групп, что приводит к увеличению концентрации  ${
m O}^-$ , а также с восстановлением некоторых мест водородом, образовавшимся в результате радиолиза ОН-групп. Опыты по облучению в среде Н2 подтверждают, что такой процесс восстановления имеет место и приводит к увеличению концентрации Al<sup>2+</sup>.

Институт катализа Сибирского отделения Академии наук СССР Новосибирск Поступило 15 VI 1972

#### ЦИТИРОВАННАЯ ЛИТЕРАТУРА

<sup>1</sup> O. R. Gillian, C. G. Yong, P. W. Levy, Bull. Am. Phys. Soc., 6, 117 (1961).

<sup>2</sup> J. Turkevich, Catalyst, Japan, 7, 3281 (1965).

<sup>3</sup> G. J. K. Acress, D. D. Eley, J. M. Trillo, J. Catalysis, 4, № 1, 12 (1965).

<sup>4</sup> D. D. Eley, M. A. Zammit, J. Catalysis, 21, 3, 366 (1971).

<sup>5</sup> B. B. Казанский, Ю. И. Печерская, ЖФХ, 34, 2, 477 (1960).

<sup>6</sup> Г. М. Долидзе, Ю. А. Колбановский и др., Изв. высш. учебн. завед. Физика, 3, 7 (1968).

<sup>7</sup> E. H. Taylor, Advances in Catalysis, 18, 111 (1968).

<sup>8</sup> П. Аткинс, М. Саймонс, Спектры ЭПР и строение неорганических радикалов, М., 1970.

<sup>9</sup> E. B. Kornelius, T. H. Milliken et al., J. Phys. Chem., 59, 9, 809 (1955).

<sup>10</sup> J. B. Peri, J. Phys. Chem., 70, 10, 3168 (1966).

<sup>11</sup> S. W. Weller, A. A. Montagna, J. Catalysis, 21, 3, 303 (1971).

<sup>12</sup> C. Hoang-Van, S. J. Teichner, J. Catalysis, 16, 1, 69 (1970).

<sup>13</sup> P. Hilaire, Comm. Energie At. (France), Rappt. № 2260 (1962).